

УДК 532.593

## ЧИСЛЕННОЕ МОДЕЛИРОВАНИЕ НЕСТАЦИОНАРНЫХ ГРАВИТАЦИОННО-КАПИЛЛЯРНЫХ ВОЛН НА ПОВЕРХНОСТИ ЖИДКОСТИ БЕСКОНЕЧНОЙ ГЛУБИНЫ

КОГАН В. Р., ЧУРИЛОВ Ю. А.

Свойства нестационарных поверхностных волн конечной амплитуды с учетом сил поверхностного натяжения рассматривались в [1–3]. В этих работах на полувязком уровне в рамках квазистационарных моделей исследовано возникновение капиллярной ряби, оценены ее параметры и вычислена реакция ряби на гравитационную волну. При этом остались невыясненными процесс зарождения ряби, динамика ее развития на начальном этапе и границы применимости гипотезы квазистационарности.

Параллельно с этими работами появились публикации [4, 5] по численному моделированию на ЭВМ прогрессивных симметричных периодических гравитационно-капиллярных волн конечной амплитуды, имеющие своими истоками классические работы А. И. Некрасова, Т. Леви-Чивиты, Я. И. Секерж-Зеньковича. Результаты этих работ свидетельствуют об исключительной сложности явления даже в случае прогрессивных симметричных волн.

В [8] впервые численно моделировалась динамика гравитационных волн конечной амплитуды на поверхности бесконечно глубокой жидкости. В настоящей работе в круге идей работы [8] создан алгоритм численного моделирования нестационарных гравитационно-капиллярных волн конечной амплитуды. Переход от гравитационных волн к гравитационно-капиллярным нетривиален — в уравнении Коши — Лагранжа формально появляется малый параметр при старшей производной. На физическом языке это означает, что начинают взаимодействовать волны с различными масштабами с двух ветвей дисперсионной характеристики, вследствие чего становится неприемлемой процедура сглаживания, которая играла центральную роль в алгоритме работы [8]. В результате численного моделирования установлены принципиальные отличия динамики гравитационных и гравитационно-капиллярных волн. Для качественного объяснения эффекта возникновения ряби и особенности ее развития использована вариационная теория конформных отображений.

**1. Постановка задачи.** Рассматривается плоскопараллельное потенциальное, периодическое по горизонтальной координате течение жидкости бесконечной глубины. Жидкость предполагается невязкой, постоянной плотности и покоящейся на бесконечности.

Изучается временная эволюция начального возмущения поверхности под действием силы тяжести и поверхностного натяжения. Задача состоит в отыскании формы свободной поверхности и потенциала скорости  $\varphi$  в области течения  $G$ , занятой одним периодом волны.

Пусть  $(x, y)$  — лагранжева координата точки на свободной поверхности. Уравнения движения точек поверхности жидкости в лагранжевых координатах имеют вид

$$\frac{dx}{dt} = \frac{\partial \varphi}{\partial x}, \quad \frac{dy}{dt} = \frac{\partial \varphi}{\partial y}; \quad \frac{d\varphi}{dt} = -p_s - y + \frac{1}{2} (\nabla \varphi)^2 \quad (1.1)$$

Здесь первые два уравнения — кинематические условия, связывающие лагранжево и эйлерово описание, третье — следствие интеграла Коши — Лагранжа;  $p_s = p_a - We K$  — давление на поверхности волны,  $K$  — ее локальная кривизна;  $p_a$  — атмосферное давление. Система записана в

безразмерном виде. В качестве масштаба длины выбрано  $L_M = \lambda/2\pi$ , где  $\lambda$  — длина волны, т. е.  $L_M = 1/k$ ,  $k$  — волновое число; масштаба времени  $T_M = 1/\sqrt{kg}$ . Очевидно  $T_M$  и  $L_M$  связаны с периодом и длиной прогрессивной гравитационной волны в линейном приближении. В качестве единиц плотности выбрана  $\rho_M = 10^3$  кг/м<sup>3</sup> — плотность воды; масштаба давления  $p_M = \rho_M g L_M$ ;  $We = \gamma/\rho_M g L_M^3$  — число Вебера и  $\gamma = 0,074$  н/м — коэффициент поверхностного натяжения на границе раздела вода — воздух.

Конформным отображением  $\zeta = e^{-iz} = re^{i\theta}$  ( $y = \ln r$ ,  $x = 2\pi - \theta$ ) отобразим область  $G$  на внутренность некоторой замкнутой кривой  $C$  в плоскости  $\zeta$  [8]. Здесь использован тот факт, что функция  $\varphi$  периодична по  $x$  с периодом  $2\pi$  и, следовательно, контур можно склеить по разрезу. Заметим, что  $\zeta$  неоднолистно в точке  $z = \infty$ , поэтому всюду далее рассмотрение ведется на одном листе римановой поверхности. Полученную область в дальнейшем будем обозначать  $G_\zeta$ .

В окрестности  $C$  введем локальные координаты  $(s, n)$ , где  $s$  — длина дуги на  $C$ ,  $n$  — внешняя нормаль к  $C$ . Если функции  $r, \theta, \varphi$  на контуре  $C(t)$  известны, то можно найти производные  $\partial r/\partial s, \partial \theta/\partial s, \partial \varphi/\partial s$  на нем. Поэтому в правой части системы (1.1), записанной для  $r, \theta, \varphi$  как функций  $(s, n)$ , оказывается неизвестной только  $\partial \varphi/\partial n$  на  $C(t)$ . Получим уравнение для ее определения.

Пусть  $Q \in G_\zeta$  — произвольная фиксированная точка,  $P$  — текущая точка контура. Из интегральной формулы Коши для комплексного потенциала и формул Коши — Римана нетрудно получить

$$\varphi(P) = \frac{1}{2\pi} \int_{c(t)} \varphi d\alpha - \ln R \frac{\partial \varphi}{\partial n} ds$$

Здесь  $\alpha$  — угол между горизонталью и вектором  $QP$ ,  $R = |QP|$ . Если точка  $Q$  лежит на  $C(t)$ , то из формул Сохоцкого — Племеля имеем

$$\int \varphi d\alpha = \text{v. p.} \int_{c(t)} \varphi d\alpha + \pi \varphi(Q)$$

где интеграл в правой части понимается в смысле главного значения. Отсюда получаем сингулярное интегральное уравнение первого рода с симметричным ядром

$$\int_{c(t)} \frac{\partial \varphi}{\partial n}(P) \ln R(P) ds = \text{v. p.} \int_{c(t)} \varphi(P) d\alpha - \pi \varphi(Q) \quad (1.2)$$

**2. Метод численного решения.** Пусть в момент времени  $t = t_0$  задается профиль волны и потенциал на нем в виде  $\{x(j, t_0), y(j, t_0), \varphi(j, t_0)\}$ , где  $1 \leq j \leq N$  и  $j$  изменяется по целым числам. В силу периодичности при любом  $t$  выполняется  $r(1, t) = r(N, t)$ ,  $\theta(1, t) = \theta(N, t)$ ,  $\varphi(1, t) = \varphi(N, t)$ . Бесконечномерная система (1.1) при этом становится системой  $3N$  обыкновенных дифференциальных уравнений и описывает временную эволюцию частиц поверхности жидкости и потенциала. Она решалась для функций  $r(s, n)$ ,  $\theta(s, n)$ ,  $\varphi(s, n)$  методом Рунге — Кутты в сочетании с методом Адамса.

Уравнение (1.2), имеющее особенность в ядре при  $R = 0$ , регуляризировалось разложением плотности  $\partial \varphi/\partial n$  в степенной ряд с последующим применением явных квадратурных формул. Получающаяся в результате регуляризации система линейных алгебраических уравнений относительно  $(\partial \varphi/\partial n)$ ; решалась методом Гаусса.

Точность решения уравнения (1.2) контролировалась проверкой условия Неймана для гармонической функции

$$A = \int_{c(t)} \frac{\partial \varphi}{\partial n} ds = 0 \quad (2.1)$$

Вычислялись также следующие инварианты потенциального течения: средний уровень  $\langle y \rangle$  и средняя кривизна  $\langle K \rangle$  профиля, полная энергия  $E$ . Для крутых гравитационных волн с крутизной  $a/\lambda = 0,16$  и более было получено обрушение волн на временах порядка  $T \sim \sqrt{\lambda/g}$ , причем инварианты  $\langle y \rangle$ ,  $\langle K \rangle$ ,  $E$  сохранялись с относи-

тельной точностью  $10^{-2}$  вплоть до момента обрушения. Алгоритм тестировался на точном решении [6], описывающем чисто капиллярную прогрессивную симметричную волну конечной амплитуды. Тест показал, что для волны с  $a/\lambda=0,06$  за время  $T=3,3$  — характерное время возникновения ряби в гравитационно-капиллярной волне — инварианты  $A, K$  сохраняются с абсолютными точностями  $10^{-4}$  и  $10^{-8}$  соответственно, энергия  $E$  изменяется не более чем на 1%. Для гравитационно-капиллярной волны с тем же отношением  $a/\lambda$  при развитой капиллярной ряби было найдено, что значения  $A$  и  $K$  в процессе счета отличаются от нуля на  $10^{-3}$  ( $N=60$ ) и  $10^{-4}$  ( $N=80$ ) соответственно; полная энергия  $E$  сохраняется с точностью  $10^{-4}$ .

**3. Результаты численного моделирования.** На ЭВМ моделировалась динамика гравитационно-капиллярных волн с начальными крутизнами  $a/\lambda=0,06$  и  $0,08$ . Время счета одного варианта гравитационно-капиллярной волны на порядок превосходит время счета варианта чисто гравитационной волны. Начальный профиль и потенциал задавались в виде

$$y_s = -\frac{a\pi}{\lambda} \cos x, \quad \varphi_s = -\frac{a\pi}{\lambda} e^{y_s} \sin x \quad (3.1)$$

Качественно эволюция совпадает у вариантов с  $a/\lambda=0,06$  и  $0,08$ , хотя бифуркационные моменты временной эволюции существенно различаются.

Наиболее тонкой и динамичной характеристикой является кривизна волны, и по ее изменению можно проследить и понять природу возникновения капиллярной ряби. До момента времени  $T=2,1$ ,  $a/\lambda=0,08$  гравитационно-капиллярная волна эволюционирует так же, как и гравитационная, с теми же начальными данными, т. е. капиллярность до этого момента времени не играет роли. С момента  $T=2,1$  начинается качественное различие в динамике гравитационной и гравитационно-капиллярной волн — в окрестности точки профиля  $R_k$ , характеризующейся условием  $\{K=0, \partial^2\varphi/\partial x^2 < 0\}$ , образуется рябь.

В дальнейшем будет существенна еще одна точка профиля  $R_u$ , в которой  $\{\varphi_x=0, \partial^2\varphi/\partial x^2 < 0\}$ . Как следует из (3.1), при  $T=0$   $R_k$  совпадает с  $R_u$ . В момент возникновения ряби  $R_u$  лежит вблизи  $R_k$  вниз по течению, что видно из фиг. 1, 2, где для моментов времени  $T=4,5; 5,7$  приведены графики профиля гравитационно-капиллярной волны, ее крутизны, горизонтальной скорости и кривизны (соответственно кривые 1–4). Следует отметить, что рябь возникает не в вершине волны, как ранее считалось, а вблизи узла, и ее появление связано с потерей симметрии профиля. Длина волны ряби  $\lambda_c \sim (We)^{1/2}$ , что совпадает с размерами неоднородности  $\partial K/\partial x$  в точке  $R_k$ .

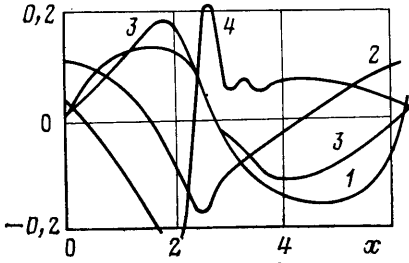
На фиг. 3, 4 для сравнения приведены графики профилей и кривизн гравитационной и гравитационно-капиллярной волн при  $T=2,1; 2,3$ . Начальные условия (3.1) для этих двух вариантов брались идентичными. Цифрами 1, 2 на фигурах обозначены профиль и кривизна гравитационной волны; 3, 4 — соответствующие величины для гравитационно-капиллярной волны.

Прежде всего рябь проявляется на графике кривизны, в то время как на профиле она незаметна. Очевидно, рябь характеризует локальную неоднородность течения вдоль свободной поверхности. Для оценки неоднородности горизонтальной скорости продифференцируем третье уравнение системы (1.1) по  $x$ , считая на свободной поверхности  $y=y(x)$ . Получим

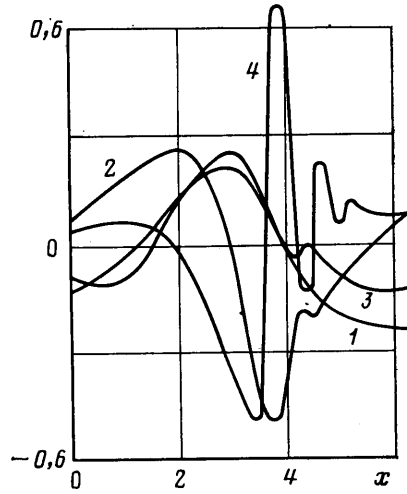
$$\frac{d\varphi_x}{dt} = We \frac{\partial K}{\partial x} - \frac{\partial y}{\partial x} (1 + \varphi_x \varphi_{xy} + \varphi_y \varphi_{yy}) \quad (3.2)$$

Для волн с начальными крутизнами  $a/\lambda=0,06$  отличие коэффициента при  $\partial y/\partial x$  в (3.2) от единицы составляет менее  $10^{-3}$ . Поэтому можно ограничиться рассмотрением приближенного равенства

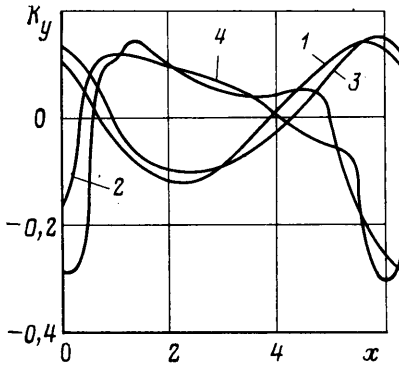
$$\frac{d}{dt} \left( \frac{\partial \varphi}{\partial x} \right) \approx We \frac{\partial K}{\partial x} - \frac{\partial y}{\partial x} \quad (3.3)$$



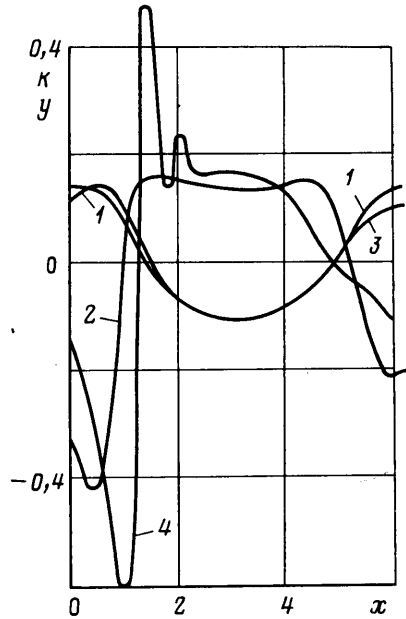
Фиг. 1



Фиг. 2



Фиг. 3



Фиг. 4

Левая часть (3.3) есть ускорение лагранжевой частицы, правая зависит от геометрических характеристик профиля и имеет смысл силы. Отметим, что член  $We \partial K / \partial x$ , обусловленный силами поверхностного натяжения и несимметрией волны, играет центральную роль в образовании ряби. Можно объяснить возникновение и развитие капиллярной ряби с помощью (3.3) и вариационной теории конформных отображений, зависящих от времени.

Пусть  $\sigma$  — площадь малой вариации профиля со знаком (считается  $\sigma > 0$ , если варьируемая область содержится в исходной, и  $\sigma < 0$  в противном случае), тогда [9] изменение потенциала  $\sim \sigma/r$ , изменение комплексной скорости  $\sim \sigma/r^2$ , где  $r$  расстояние от центра области варьирования. Рассмотрим комплексную скорость

$$\frac{dW}{dz} = ce^{\tau - i\Phi}$$

Очевидно,  $\tau$ ,  $\Phi$  — сопряженные гармонические функции, следовательно

$$\frac{\partial \Phi}{\partial s} = -\frac{\partial \tau}{\partial n}, \quad \tau = \log \frac{1}{c} \left| \frac{dW}{dz} \right|$$

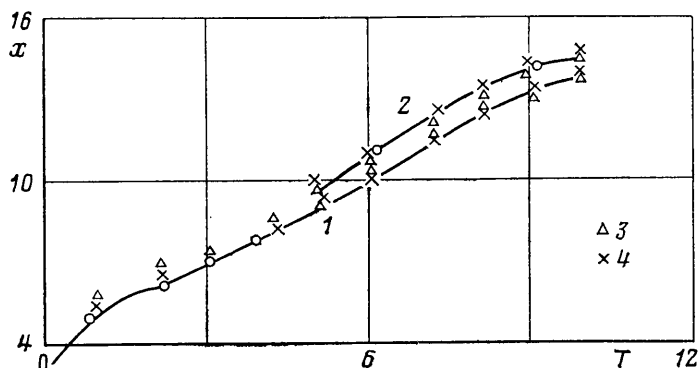
Функции  $\tau$ ,  $\Phi$  обычно вводятся для установившихся течений. Для малых времен порядка  $T=0,2-0,6$  течение в рассматриваемом случае достаточно близко к квазистационарному, и для качественных рассуждений можно пользоваться понятием  $\tau$ ,  $\Phi$ , считая, что  $\Phi$  — угол между касательной к мгновенному профилю и осью  $x$ . Поэтому вследствие гармоничности  $\tau$

$$K = \frac{\partial \Phi}{\partial s} \Big|_{n=0}, \quad \int_{c(t)} K ds = \int_{c(t)} \frac{\partial \Phi}{\partial s} ds = - \int_{c(t)} \frac{\partial \tau}{\partial n} ds = 0 \quad (3.4)$$

Интегрирование в (3.4) ведется по свободной поверхности, ограничивающей один период волны. Интеграл в (3.4) можно представить в виде

$$\int_{c(t)} K ds = \int_l K ds + \int_{\partial \sigma_-} K ds + \int_{\partial \sigma_+} K ds \quad (3.5)$$

где  $\partial \sigma_{\mp}$  — граница локально варьируемой области с отрицательной (поло-



Фиг. 5

жительной) кривизной профиля,  $l$  — часть свободной поверхности  $S$  вне вариаций. Из-за нелинейности и дисперсии фронт волны становится круче, производная  $\partial K/\partial x$  положительна и максимальна в  $R_h$ , а крутизна  $\partial y/\partial x$  отрицательна. Поскольку  $K=0$  в  $R_h$ , а  $K \approx d^2 y/dx^2$  для малых волн, то крутизна достигает в  $R_h$  минимума. Из (3.3) следует, что совместное действие этих двух эффектов приводит к локальному росту горизонтального ускорения в  $R_h$ . В точке  $R_u$  скорость  $\varphi_x=0$  и, следовательно,  $R_u$  является неподвижной при горизонтальных деформациях профиля. Из кинематических соображений легко понять, что большое положительное ускорение в  $R_h$  приводит к неоднородным горизонтальным смещениям и сильному изгибанию свободной поверхности справа от  $R_u$ . Максимальный рост кривизны, достигается именно в  $R_u$ . Он локален и приводит в силу (3.5) к образованию в окрестности  $R_u$  вниз по течению участка профиля с уменьшающейся кривизной (интеграл по  $l$  в (3.5) не изменяется ввиду локальности вариаций!).

Таким образом, справа от  $R_u$  кривизна становится локально-немонотонной функцией. Отсюда и из формулы (3.3) следует, что горизонтальное ускорение становится также немонотонной функцией, а на графике крутизны появляется дополнительная экстремальная точка. Рост ампли-

туды ряби со временем легко объясняется с помощью вариационной теории конформных отображений. Действительно, как следует из результатов работы [9], в экстремальных точках крутизны  $\tau'(s)=0$ , причем в точке локального минимума  $\tau(s)$  имеет максимум, а в точке максимальной крутизны — минимум. Поскольку  $\varphi_x=0$  в окрестности  $R_u$ , а  $\tau(s)$  возрастает, то вертикальная скорость  $\varphi_y$  увеличивается, что и приводит к увеличению амплитуды ряби. На фиг. 1, 2 проиллюстрированы качественные рассуждения, приведенные выше для варианта с  $a/\lambda=0,06$ . Начальный профиль и потенциал задавались в виде (3.1).

На фиг. 5 представлены графики зависимости горизонтальных координат главного (кривая 1) и следующего за ним по величине (кривая 2) локальных максимумов кинетической энергии  $Q$  от времени. Точками 3 и 4 обозначены координаты соответствующих локальных максимумов вертикальной скорости и координаты соответствующих локальных максимумов крутизны.

Таким образом, численно установлен и качественно объяснен новый тип неустойчивости, в котором капиллярные эффекты играют принципиальную роль. Описанный механизм неустойчивости следует учитывать при выработке корректных приближений для описания такого сложного явления, как нестационарные гравитационно-капиллярные волны.

Авторы выражают благодарность Г. Ю. Степанову за внимание и полезные замечания, Г. И. Баренблатту и М. А. Евграфову за проявленный интерес к работе.

#### ЛИТЕРАТУРА

1. Longuet-Higgins M. S. The generation of capillary waves by steep gravity waves // J. Fluid Mech. 1963. V. 16. № 1. P. 138—159.
2. Варавин В. Ю., Наугольных К. А., Рыбак С. А. О механизме возбуждения капиллярной ряби на заднем склоне гравитационной волны // Изв. АН СССР. Физика атмосферы и океана. 1980. Т. 16. № 7. С. 770—782.
3. Рувинский К. Д., Фрейдман Г. И. О генерации капиллярно-гравитационных волн крутыми гравитационными волнами // Изв. АН СССР. Физика атмосферы и океана. 1981. Т. 17. № 7. С. 746—753.
4. Schwartz L. W., Vanden-Broeck J.-M. Numerical solution of the exact equations for capillary-gravity waves // J. Fluid Mech. 1979. V. 95. № 1. P. 119—139.
5. Chen B., Saffman P. G. Steady gravity-capillary waves on deep water // Stud. Appl. Math. 1979. V. 60. № 3. P. 183—210.
6. Crapper G. D. An exact solution for progressive capillary waves of arbitrary amplitude // J. Fluid Mech. 1957. V. 2. № 6. P. 532—540.
7. Секерж-Зенькович Я. И. Об установившихся капиллярно-гравитационных вынужденных волнах конечной амплитуды на поверхности жидкости конечной глубины // Механика сплошной среды и родственные проблемы анализа. М.: Наука, 1972. С. 445—458.
8. Longuet-Higgins M. S., Cokelet E. D. The deformation of steep surface waves on water. 1 // Proc. Roy. Soc. Lond. 1976. V. A350. № 1660. P. 1—26.
9. Лаврентьев М. А. Вариационный метод в крайних задачах для систем уравнений эллиптического типа. М.: Изд-во АН СССР, 1962. 136 с.

Горький

Поступила в редакцию  
10.X.1985